

О причинах элиминации пополнения мойвы на банке Флемиш-Кап

Боровков В. А., Карсаков А. Л., Ушаков Н. Г.

(Полярный научно-исследовательский институт морского рыбного хозяйства и океанографии им. Н. М. Книповича, Мурманск)

Банка Флемиш-Кап находится вне нормального ареала мойвы, однако при климатических похолоданиях отмечались кратковременные появления взрослой мойвы в этом районе. Воспроизводства мойвы в этих эпизодах не регистрировалось, хотя имеющиеся сведения об условиях нереста, включающих температуру и соленость воды, глубины нереста и вид грунтов, не исключают этой возможности. Наиболее вероятной причиной невозможности воспроизводства мойвы на банке Флемиш-Кап представляется массовый безвозвратный вынос молоди мойвы за пределы банки в период первой зимовки, что обусловлено сезонным ослаблением циркуляции столба Тэйлора-Праудмена.

Введение

В прошлом столетии в Северо-Западной Атлантике зафиксирован ряд эпизодов смещения границ ареала мойвы на север, юг и восток относительно основного района ее обитания – прибрежных и открытых вод Южного Лабрадора и Большой Ньюфаундлендской банки, связанных, очевидно, с экстремальными изменениями условий морской среды. К таким эпизодам относятся, в частности, появления мойвы на банке Флемиш-Кап, которая, как свидетельствуют результаты многолетних донных траловых съемок (Borovkov et al., 1989; Lilly and Davis, 1993), находится вне нормального ареала мойвы. Эти феномены отмечались после резких и сильных похолоданий прилегающих вод в 1973 г., когда при промысле окуня был зарегистрирован прилов 317 т мойвы (Templeman, 1976), и в 1990-1993 гг., когда мойва была в приловах при коммерческом промысле, а также присутствовала в уловах испанских донных траловых съемок (Frank et al., 1996). Оба эпизода представляли собой непродолжительные инвазии взрослой рыбы, которая не воспроизвела пополнения, хотя нерест мойвы на банке Флемиш-Кап в 1993 г., как показал анализ биологических проб (Frank et al., 1996), происходил.

Вероятно, аналогичные инвазии случались и ранее в некоторые из исторических периодов похолоданий, однако самоподдерживающейся популяции мойвы на Флемиш-Капе не сформировалось ни к началу рыбохозяйственных исследований этого района (конец 1940-х гг.), ни в настоящее время.

В этой статье на основе сведений из литературных источников и базы данных океанографических наблюдений рассматриваются вероятные причины безуспешного воспроизводства мойвы в районе Флемиш-Кап.

Материалы и методы

Для литературного исследования были рассмотрены публикации ICES, ICNAF/NAFO, а также из доступных научных журналов и монографий, посвященных вопросам биологии и экологии мойвы и изменчивости океанографических условий в

районе Флемиш-Кап. Чтобы иллюстрировать ключевые результаты анализа, были извлечены рисунки из индивидуальных статей (как обозначено в подписях к рисункам).

Оценки термохалинных условий нереста и развития молоди мойвы на банке Флемиш-Кап получены путем анализа исторического массива океанографических наблюдений из World Ocean Database 2001 (WOD01). Обработка проводилась в следующей последовательности процедур:

- пространственная и сезонная селекция данных, контроль их качества с помощью программы Ocean Data View (Schlitzer, 2004),
- формирование наборов данных температуры и солености воды в придонном слое с предварительным устранением «подвесных» океанографических станций, не удовлетворяющих критерию

$$(BD-LOD)/BD \leq 0.05,$$

где BD – bottom depth, LOD – last observation depth,

- обработка полученных наборов данных стандартными статистическими методами.

Результаты и обсуждение

Условия нереста

Наиболее полные сведения о распределении и биологии мойвы на банке Флемиш-Кап представлены Frank et al. (1996) на основе анализа результатов испанских донных траловых съемок 1992-1993 гг. и проб, собранных при промысле креветки в 1993 г.

Согласно результатам этого исследования, в указанные годы мойва распределялась в северо-центральной части Флемиш-Капа преимущественно на глубинах менее 300 м и в меньшем количестве в диапазоне глубин 300-600 м (рис. 1). При промысле креветки в 1993 г., который проводился на глубинах 300-400 м, приловы мойвы, большинство из которых было менее 1 кг/час траления, в мае и июле были получены в западной и северо-западной частях Флемиш-Капа в широтной зоне протяженностью приблизительно 110 км. В июне распределение было более обширно, охватывая западный, северный и восточный фланги Флемиш-Капа. Так как мойва была в приловах повсеместно при ориентированном на креветку промысле, возможно, что она могла существовать на других участках и в больших скоплениях в области Флемиш-Капа.

Размерные ряды были подобны во всех месяцах с преобладанием рыбы > 14 см, 94 % особей мойвы имели длину в диапазоне 15-18 см. Мойва в возрасте 4 лет составляла свыше 80 % объема проб, а остаток был представлен возрастами 3 и 5 лет. Отношение веса гонад к полному весу тела мойвы в конце июня – начале июля 1993 г. и позже составляло 25 % или выше и представляло рыбу в стадии нереста (Frank et al., 1996).

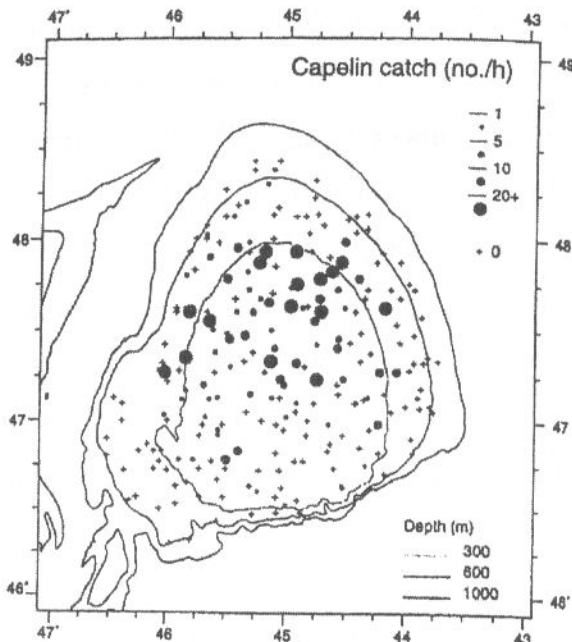


Рис. 1. Распределение мойвы по данным уловов, полученных в траловых съемках испанских НИС в 1992 и 1993 гг. (по Frank et al., 1996)

Известно, что мойва во время нереста откладывает клейкую икру на донный грунт, и успешность нереста зависит от глубины дна, состава и размеров частиц грунта, а также от физико-химических свойств воды в придонном слое на нерестилищах.

Имеющиеся в WOD01 данные о температуре и солености придонного слоя на глубинах распределения мойвы (≤ 600 м) в весенне-летний период 1993 г. представлены 12 океанографическими станциями, выполненными на канадском судне 5-6 июля (NODC/OCL Cruise number WOD01-18010847). Наблюдения проводились на участке разреза «Флемиш-Кап», пересекающем центральную часть банки вдоль параллели 47°N (9 станций) и к северу от вершины банки (3 станции). Результаты этих измерений, а также весь доступный массив летних наблюдений показывают общее повышение температуры и солености воды в придонном слое с увеличением глубины дна и характеризуются следующими диапазонами величин:

Период	Глубина, м	Температура, °C	Соленость
июль 1993	139 - 389	2.3 – 3.7	34.2 – 34.9
июнь-август 1931-1996	137-600	2.2 – 5.5	34.0 – 35.1

Чтобы оценить степень соответствия этих условий характеристикам морской среды, при которых проходит успешный нерест мойвы, обратимся к данным таблицы 1.

Таблица 1. Характеристики условий нереста мойвы из различных районов
(по Vilhjalmsson, 1994, с дополнениями авторов)

Район	Глубина, м	Размер частиц грунта, мм	Температура, °C	Соленость	Источник
Северная Норвегия	7-280 (10-100)	5-15	1.5-6.5 (2-5)	34-35	1),2),3),4)
Побережье Мурмана	12-130 (25-70)		1.2-4.9 (2-4)	32.6-34.6	5),6),7)
Исландия	5-90 (30-50)	0.1-4.0	5.0-7.0	35.0	8),9),10)
Западная Гренландия	0-10		1.9-8.5		11)
Ньюфаундленд					
Побережье	0-10	2.5-25 (2.4-11.3)	2.5-10.8 (5.5-8.5)		12),13),14)
SE Большой банки	40-50	0.5-2.2 (2.0)	2.0-5.0	32.5-32.7	15),16),17)
Восточная Пацифика	0-5	1-5	5.0-10.6		18),19)
Западная Пацифика	1-2	0.3-10.0 (1-5)	2.0-14.0		20)

Источник: 1) Bakke and Bjørke, 1973; 2) Moller and Olsen, 1962; 3) Gjøsaeter and Saetre, 1973; 4) Saetre and Gjøsaeter, 1975; 5) Лука, 1977; 6) Поздняков, 1964; 7) Прохоров, 1965; 8) Sæmundsson, 1926; 9) Thors, 1981; 10) Vilhjalmsson, 1983; 11) Kanneworf, 1967; 12) Templeman, 1948; 13) Nakashima and Taggart, 1987; 14) Nakashima and Taggart, 2002; 15) Pitt, 1958; 16) Carscadden et al., 1989; 17) Ковалев, 1975; 18) Hart and McHugh, 1944; 19) Pahlke, 1985; 20) Velikanov, 1984.

Примечание – в закрытых скобках приведены медианные значения

Как следует из сравнения представленных данных, диапазон глубин преимущественного распределения мойвы на банке Флемиш-Кап летом 1993 г. (≤ 300 м) соответствует максимальному диапазону глубин нереста данного вида, а температура и соленость воды в придонном слое находились внутри соответствующих диапазонов толерантности и поэтому не могли препятствовать нересту.

Согласно результатам геологических исследований, доминирующим типом грунтов на банке Флемиш-Кап являются илистый песок с включениями гравия, гальки, ракушек и камней, но в значительно меньшем количестве, чем песок. В отложениях банки большую примесь составляют фракции 0,25-0,10 мм. В центральной части с глубинами менее 170 м расположено пятно песка с гравием, галькой и ракушей. Слои банки с глубинами более 300 м покрыты песчанистым илом (Литвин, Рвачев 1961; Авилов, 1965). Таким образом, донные грунты на банке Флемиш-Кап являются подходящим субстратом для икры мойвы.

Известно, что эмбриональное развитие мойвы в естественных условиях проходит при температуре воды 2-4°C и продолжается от 30 до 60 суток (Расс, 1933; Прохоров, 1965; Bakke and Bjørke, 1973; Frank and Leggett, 1981; Frank and Carscadden, 1989). Данные WOD01 о температуре воды в придонном слое на банке Флемиш-Кап (глубины ≤ 300 м) в июне-сентябре 1937-1996 гг. характеризуются диапазоном изменений 2.2 – 5.5°C, что соответствует нормальным условиям развития мойвы в стадии икринок.

Из вышесказанного следует, что глубина дна, тип грунтов, температура и соленость воды на банке Флемиш-Кап соответствуют условиям для успешного нереста и эмбрионального развития мойвы.

Условия выживания молоди

После выклева личинки мойвы всплывают в верхние слои воды, разносятся течениями, смешиваются по мере роста с неполовозрелыми особями других возрастных групп и образуют скопления. В качестве ориентира условий обитания молоди мойвы могут служить результаты исследований Anderson et al. (2002), согласно которым в августе-сентябре 1994-1999 гг. молодь мойвы (в возрасте 0 и 1) распределялась от побережья Лабрадора до южных склонов Большой банки с максимальной встречаемостью на северном склоне Большой банки. Молодь находилась преимущественно в слое 20-60 м при температуре воды от 3°C на северных участках до 10°C на южных склонах Большой банки, в среднем интервале температур 5-7°C (Anderson et al., 2002).

В отсутствие данных об условиях развития молоди мойвы на банке Флемиш-Кап в августе-сентябре 1993 г. мы оценили пределы изменений температуры воды по многолетним данным WOD01. На рисунке 2 показана вариабельность температуры воды в верхнем 100-метровом слое в области банки Флемиш-Кап с глубинами ≤ 600 м. Данные для августа-сентября (рис. 2а) демонстрируют интервал температур от -1.5°C до 16°C, который включает в себя цитированный выше диапазон 3-10°C. Отчетливо выраженная бимодальность распределения температуры в эти месяцы связана с летним прогревом верхнего слоя, так как правая мода (10-14°C) относится исключительно к приповерхностному слою толщиной около 30 м. Левый максимум частоты распределения температуры соответствует ее интервалу 2-6°C и относится к глубинам ≥ 20 м, что почти

совпадает с оптимумом условий обитания разновозрастной молоди ньюфаундлендской мойвы. Наибольшая частота температур 2-6°С характерна и для всего года в целом (рис. 2b), что позволяет признать акваторию банки Флемиш-Кап, за исключением района ее южных и юго-восточных склонов, где температура воды относительно высока из-за присутствия атлантических вод, пригодной для развития молоди мойвы.

Помимо температуры, необходимым условием для успешного воспроизводства рыб является циркуляция вод, которая регулирует удержание мальков внутри ареала популяции.

Циркуляция вод в районе Флемиш-Кап слагается из следующих основных звеньев. Северные и северо-восточные склоны банки омываются Флемишкапской ветвью Лабрадорского течения, которая переносит воды с относительно низкими температурой и соленостью (Elizarov and Prokhorov, 1958; Buzdalin and Elizarov, 1962). На юго-восточных склонах банки эти воды взаимодействуют с более теплыми и солеными водами, транспортируемыми Северо-Атлантическим течением в восточном и северо-восточном направлениях. В центральной части банки господствует антициклонический круговорот, который находится в непосредственном контакте с Флемишкапской ветвью (рис.3).

Указанные элементы циркуляции воспроизводятся многими схемами динамической топографии поверхности моря, основанными на данных океанографических съемок в этом районе (Buzdalin and Elizarov, 1962; Kudlo and Burmakin, 1972; Kudlo and Borovkov, 1975; Borovkov and Kudlo, 1980; Kudlo et al., 1984). О существовании медленного антициклонического вращения вод в центральной части банки свидетельствуют траектории большинства из буев, дрейфовавших между январем 1979 и маев 1980 гг. (Ross, 1981). Это подтверждают также результаты измерений течений, выполненные в 1979 г. с помощью заякоренных регистраторов течений (Ross, 1980) и в 1993 г. с помощью установленного на судне акустического допплеровского профилографа течений (Colbourne, 1993). Измерения течений с помощью ADCP показали наличие антициклонической спирали с номинальным поперечником приблизительно 200 км (размеры Флемиш-Капа) и средней скоростью течений около 10 см/сек, что соответствует приблизительно 10-недельному периоду вращения по периферии банки (Colbourne, 1993). Антициклоническая циркуляция над банкой Флемиш-Кап является ярким примером столба Тэйлора-Праудмена, который представляет собой реакцию течений на подводное поднятие (Proudman, 1916; Taylor, 1917).

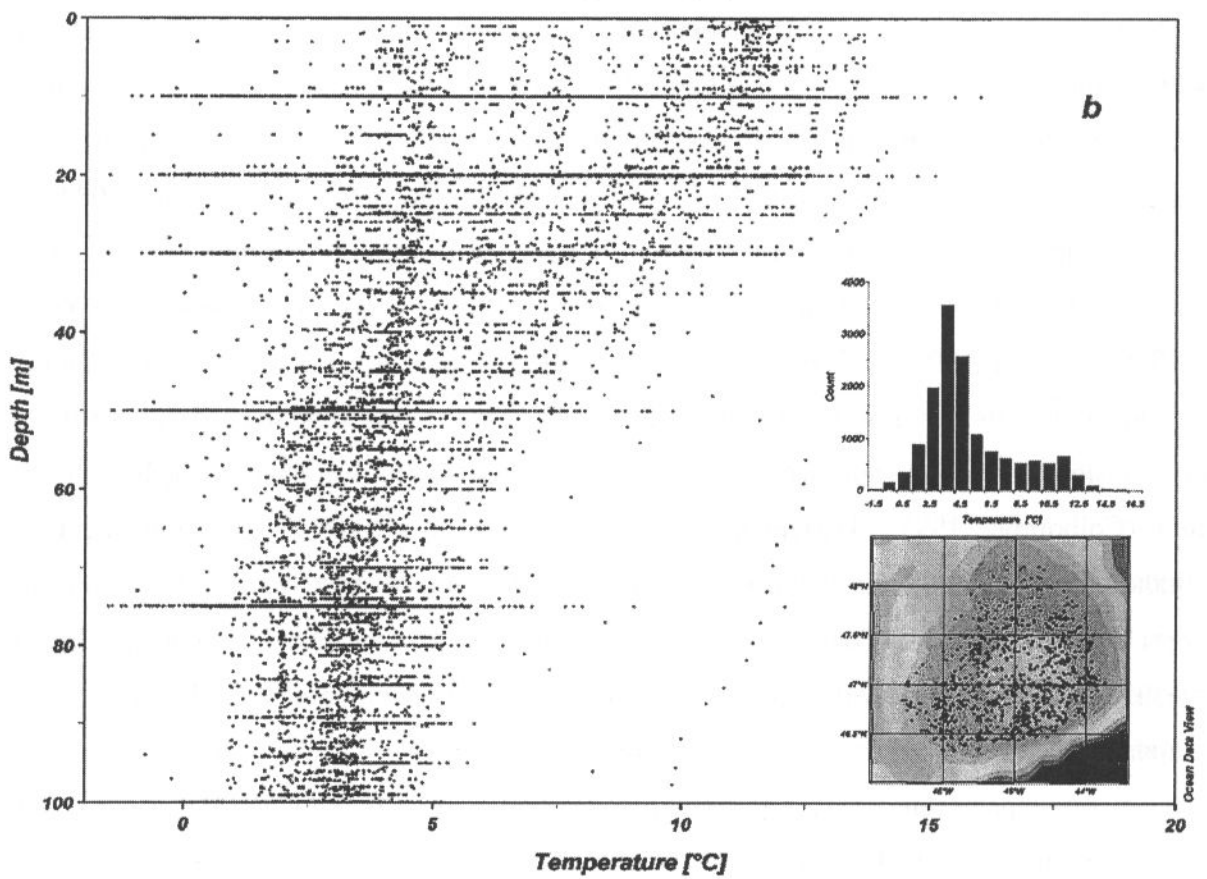
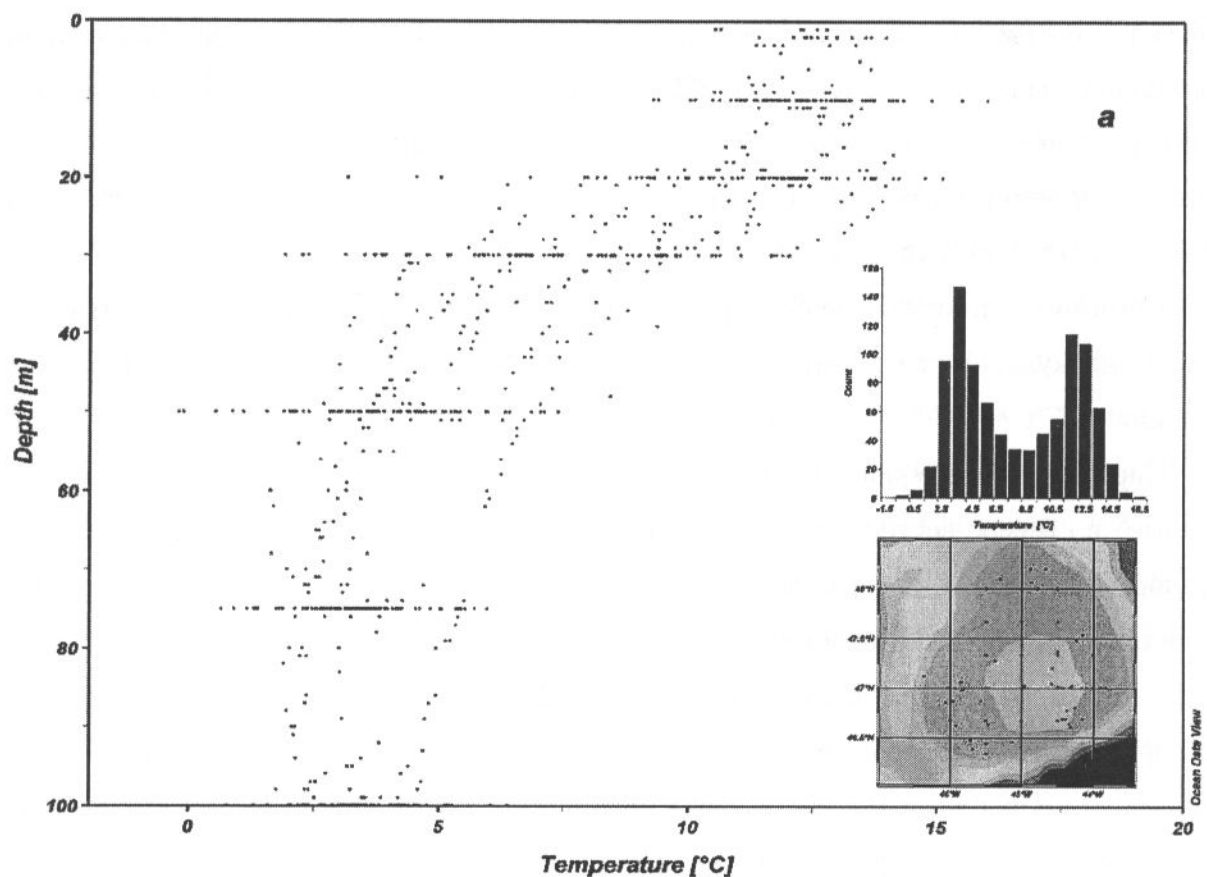


Рис. 2. Температура воды в верхнем 100-м слое в области банки Флемиш-Кап с глубинами ≤ 600 м в августе-сентябре (а) и в целом за год (б). На врезках даны схемы положения океанографических станций (внизу) и гистограммы распределения температуры.

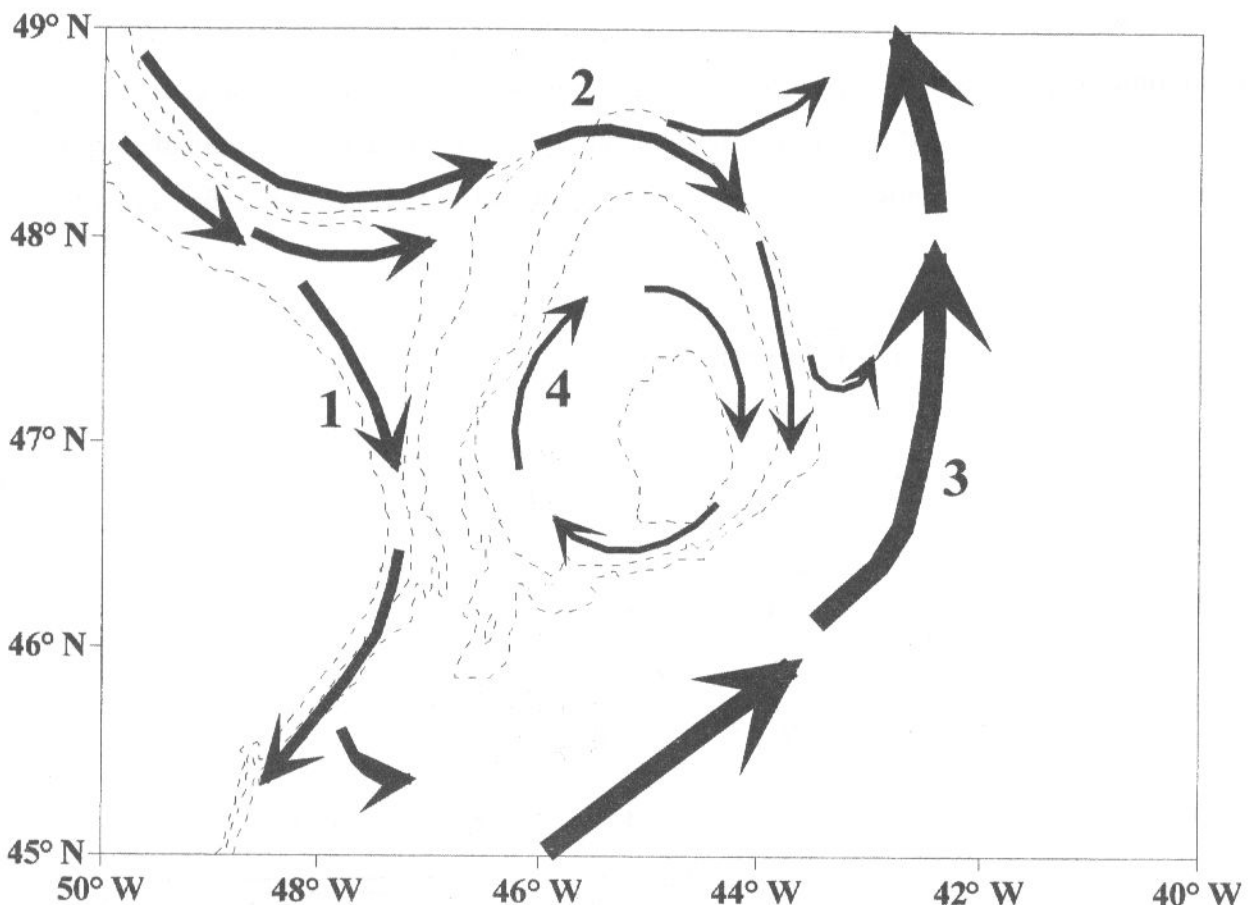


Рис. 3. Схема поверхностных течений в районе Флемиш-Кап. 1 – основная ветвь Лабрадорского течения, 2 – Флемишкапская ветвь Лабрадорского течения, 3 – Северо-Атлантическое течение, 4 – антициклонический круговорот. Штриховыми линиями показаны изобаты 200, 500 и 1000 м.

Однако в отдельные периоды вращение вод по часовой стрелке в верхнем слое над банкой отсутствует, о чем свидетельствуют как схемы геострофической циркуляции на поверхности моря (Kudlo et al., 1984), так и инструментальные измерения течений (Hill et al., 1973). Одним из главных механизмов разрушения антициклонической циркуляции представляется сила и частота ветрового воздействия в результате штормовых событий. Kudlo et al. (1984) установили, что частота меандрирующих переносов поперек банки является самой большой в течение зимних месяцев, когда средняя скорость ветра максимальна. Эпизоды отсутствия антициклонической спирали в полях геострофической циркуляции наблюдались после прохождения над банкой глубоких циклонов и усиления дрейфовых течений в результате сопутствующих штормов (рис. 4).

Теоретически этот эффект описан в работах Huppert and Bryan (1976) и Bannon (1980), которые показали, что скорость антициклонической циркуляция и время нахождения воды на банке обратно пропорциональны скорости набегающего потока и при достижении последним критического значения эта циркуляция может разрушаться.

Указанный эффект дает основания полагать, что в климатическом плане вероятность разрушения антициклонической циркуляции приповерхностных вод на Флемиш-Капе возрастает в осенне-зимний период, т.е. в период активизации атмосферной циклонической деятельности, и уменьшается летом, когда последняя ослабевает (Kudlo et al., 1984).

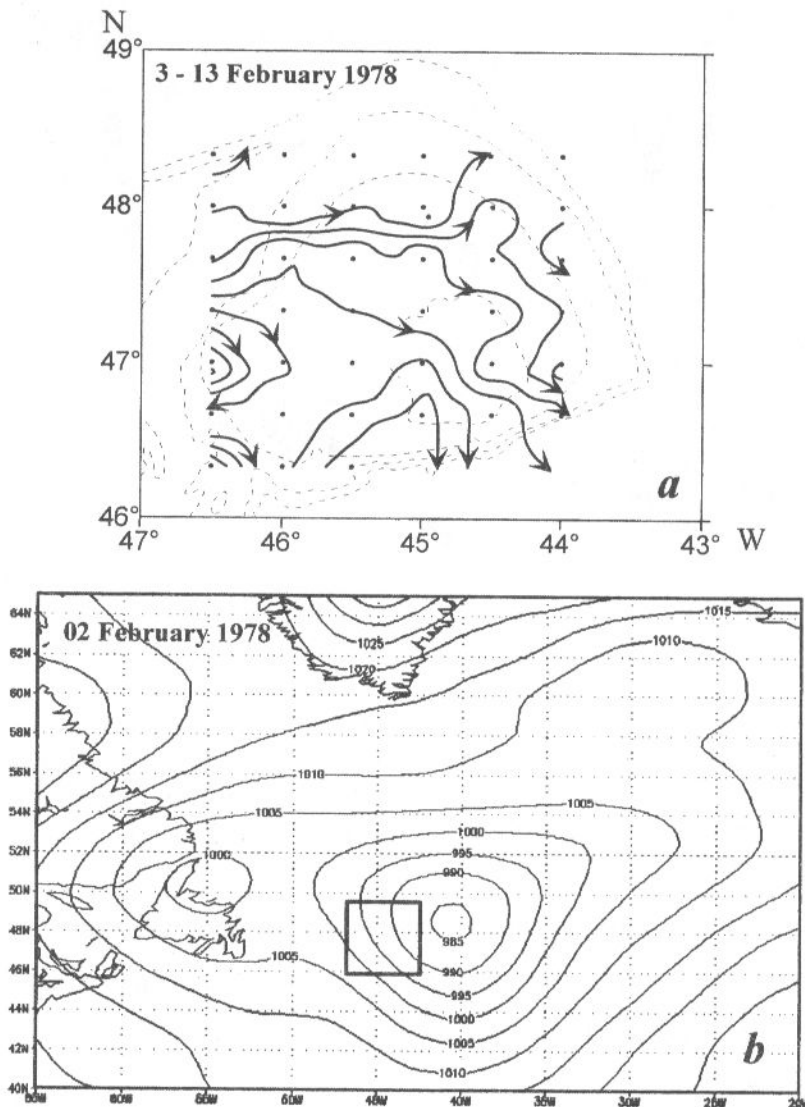


Рис. 4. Геострофическая циркуляция поверхностных вод над банкой Флемиш-Кап, рассчитанная относительно уровня 200 дб в феврале 1978 г. (а) и распределение атмосферного давления на уровне 1000 мб в предшествующий период (б). Положение банки Флемиш-Кап на схеме (б) условно обозначено квадратом (по Боровкову и др., 2005).

Существование таких сезонных особенностей в вариациях течений было доказано длительной серией инструментальных измерений на банке Роколл (Dooley, 1984; цитировано по Dickson, 2002). Кроме того, эти измерения показали, что вблизи дна латеральная антициклоническая циркуляция сильнее и устойчивее, чем в вышележащей толще воды, что также согласуется с теоретическими представлениями о влиянии

стратификации вод на вертикальный профиль скорости в столбе Тэйлора-Праудмена.

Наличие указанной сезонности в эволюции циркуляции вод над банкой Флемиш-Кап в сочетании с ее относительно небольшими размерами обусловливает преобладание задержания пелагических личинок и мальков рыб на акватории банки в теплую часть года и повышенный риск их безвозвратного выноса вовне банки в осенне-зимний период. Этот механизм наиболее вероятен в отношении мойвы и других видов гидробионтов, молодь или планктонные стадии которых развиваются в пелагии круглый год и поэтому постоянно подвергаются влиянию течений. У тех видов (например, трески), стратегия жизненного цикла которых предусматривает переход молоди к придонному образу жизни перед первой зимовкой, повышенные шансы для выживания дают как возможность укрытия от выноса в складках рельефа дна, а также за скалами и валунами на дне, так и отмеченный выше атрибут столбов Тэйлора-Праудмена – повышенные скорость и устойчивость антициклонической циркуляции у дна.

Таким образом, из числа рассмотренных в данной работе факторов воспроизводства мойвы единственным претендентом, способным воспрепятствовать формированию ее репродуктивной группировки на Флемиш-Капе, представляется сезонная эволюция циркуляции вод в сочетании с относительно небольшими размерами банки. Вероятно, отмеченное сочетание является своеобразным фильтром, который исключает из состава постоянной ихтиофауны банки также иные виды со сходным характером обитания молоди.

В заключение авторы считают уместным выразить согласие с Р. Диксоном, который, оценивая результаты исследований вероятных физических механизмов распределения молоди рыб, заметил, что «...мы вряд ли будем иметь наблюдения за системой в течение достаточно длительного периода, чтобы определить степень этой изменчивости и преобразовать гипотетический контроль в доказанный» (Dickson, 2002, p.221).

Литература

- Авилов И.К., 1965. Рельеф и донные отложения шельфа и материкового склона Северо-Западной Атлантики / Тр. ВНИРО, том LVII. Исследования по программе международного геофизического года, Москва: с. 173-234.
- Боровков В.А., Карсаков А.Л., Васьков А.А. 2005. Роль циркуляции вод в динамике урожайности поколений морского окуня и трески банки Флемиш-Кап. Вопросы промысловой океанологии. Вып. 2. –М.: Изд-во ВНИРО, С. 243-252.
- Буздалин Ю. И. и Елизаров А. А. 1962. Гидрологические условия в районах Ньюфаундлендских банок и Лабрадорав 1960 г. Советские рыбохозяйственные

исследования в сев.-зап. части Атлантического океана. –М, ВНИРО-ПИНРО, С. 155-171.

Елизаров А. А. и Прохоров В. С. 1958. Гидрологические исследования и промысел на банке Флемиш-Кап в марте и мае 1958 г. Научно-техн. бюл. ПИНРО, № 7, С. 57-59.

Ковалев С. М. 1975. Биология и промысел мойвы Большой Ньюфаундлендской банки. Мурманск, Кн. изд-во, 1975. -33 с.

Литвин В.М., Рвачев В.Д., 1961. Рельеф дна и грунты промысловых банок районов Лабрадора и Ньюфаундленда. Науч.-техн. бюл. ПИНРО, № 2-3 (16-17): С. 39-44.

Лука Г.И. 1977. Наставление по круглогодичному поиску баренцевоморской мойвы. –Мурманск: 136 с.

Поздняков Ю.Ф. 1964. Биология и промысел мойвы Баренцева моря у берегов Мурмана: Автореф. дис. ...канд. биол. наук. –Ленинград: 15 с.

Прохоров В.С. 1965. Экология мойвы Баренцева моря и перспективы ее промыслового освоения // Тр./ПИНРО. -Вып.19: 68 с.

Расс Т.С. 1933. Нерест мойвы *Mallotus villosus* Баренцева моря. Тр. ГОИН. -Т. 4, вып.1: С.3-28.

Anderson, J.T., Dalley, E.L., and O'Driscoll, L. 2002. Juvenile capelin (*Mallotus villosus*) off Newfoundland in the 1990s. ICES J. mar. Sci. 59: pp. 917-928.

Bakke, S., and Bjørke H. 1973. Diving observations on Barents Sea capelin at the spawning grounds off Northern Norway // Fiskeridir. Skrift. Ser. Havunders. -Vol.16, no.4: pp.140-147.

Bannon, P. R. 1980. Rotating barotropic flow over finite isolated topography. Journal of Fluid Mechanics, 101: pp. 281-306.

Borovkov, V.A., and Kudlo, B. P. 1980. Results of USSR oceanographic observations on Flemish Cap, 1977-78. ICNAF Sel. Pap., 6: pp. 47-52.

Borovkov, V.A., Bulatova, A.Y., Chumakov, A.K., Savvatimsky, P.I., and Tevs, I.I. 1989. Bottom water effects on the distribution and density of bottom fish in NAFO Subarea 3. NAFO SCR Doc. No. 89/87. Ser. No. NI671: 16 p.

Carscadden, J.E., Frank, K.T., and Miller, D.S. 1989. Capelin (*Mallotus villosus*) spawning on the southeast shoal: influence of physical factors past and present. Canadian Journal of Fisheries and Aquatic Science, 46: pp. 1743-1754.

Colbourne, E. 1993. Environmental conditions on the Flemish Cap during the summer 1993, with comparisons to the long-term average. NAFO Scr. Doc., No. 107, Serial No. N2300: 16 p.

Dickson, R. R. 2002. Variability at all scales and its effects on the ecosystem: an overview. ICES Marine Science Symposia, 215: pp. 213-226.

Dooley, H. D. 1984. Aspects of oceanographic variability on Scottishfishing grounds. PhD 282

thesis. University of Aberdeen. 154 p.

Frank, K.T., and Leggett, W.C. 1981. Wind regulation of emergence times and early larval survival in capelin (*Mallotus villosus*). Canadian Journal of Fisheries and Aquatic Science, 38: pp. 215-223.

Frank, K.T., and Carscadden, J.E. 1989. Factors affecting recruitment variability of capelin (*Mallotus villosus*) in the Northwest Atlantic. J. Couns. Int. Explor. Mer, 45: pp. 146-164.

Frank, K.T., Carscadden, J.E., and Simon, J.E. 1996. Recent excursions of capelin [*Mallotus villosus*] to the Scotian Shelf and Flemish Cap during anomalous hydrographic conditions. Canadian Journal of Fisheries and Aquatic Science. Vol. 53: pp. 1473-1486.

Gjøsaeter, H., and Saetre, R. 1973. The use of data on eggs and larvae for estimating spawning stock of fish populations with demersal eggs // Intern. Symp. early Life Hist. Fish. -Oban: pp.1-18.

Huppert, H. E., and Bryan, K. 1976. Topographically generated eddies. Deep-Sea Res., 23: pp. 655-679.

Hart, J.L., and McHugh, J.L. 1944. The smelt (Osmeridae) of British Columbia. Fish. Res. Board of Canada. Bull. No. 64: pp. 20-26.

Hill, H.W., P.G.W. Jones, J.W. Ramster, and Folkard, A.R. 1973. A note on the Labrador and Atlantic currents to the east of Newfoundland Grand Bank. ICNAF Res. Doc., No. 116, Serial No. 3082: 34 p.

Kanneworff, P. 1967. *Mallotus villosus* (O.F. Müller). Biologi og dynamic I grønlandske farvande. [Mallotus villosus (O.F. Müller). Biology and dynamics in Greenland waters]. Thesis, Grønlands Fiskeriundersøgelser, Copenhagen: 103 p.

Kudlo, B. P., and Burmakin, V.V. 1972. Water circulation in the South Labrador and Newfoundland areas in 1970-71. ICNAF Redbook, 1972(III): pp. 27-33.

Kudlo, B. P., and Borovkov, V.A. 1975. Circulation of waters in the ICNAF Area in 1973-1974. ICNAF Res. Doc., No. 79, Ser. No.3506: 12 p.

Kudlo, B. P., Borovkov, V.A., and Sapronetskaya, N.G. 1984. Water circulation patterns on the Flemish Cap from observations in 1977-82. NAFO Sci. Coun. Studies, 7: pp. 27-37.

Lilly, G.R., and Davis, D.J. 1993. Changes in the distribution of capelin in Divisions 2J, 3K and 3L in the autumns of recent years, as inferred from bottom-trawl by-catches and cod stomachs examinations. NAFO SCR Doc. No. 93/54. Ser. No. 2237.

Moller, D., and Olsen, S. 1962. Norwegian capelin investigations // ICES C.M. -N.34: pp. 1-10.

Nakashima, B.S., and Taggart, C.T. 1987. Variation in capelin (*Mallotus villosus* Müller) egg deposition on beaches in Conception Bay, Newfoundland. Can. Tech. Rep. Fish. Aquat. Sci.. 1743: 20 p.

Nakashima, B.S., and Taggart, C.T. 2002. Is beach-spawning success for capelin, *Mallotus*

- villosus (Müller), a function of the beach? ICES J. mar. Sci. 59: pp. 897-908
- Pahlke K.A. 1985. Life history and distribution of capelin, *Mallotus villosus*, in Alaskan waters. M. Sci. Thesis. University of Alaska, Juneau, 76 pp. (mimeo).
- Pitt, T.K. 1958. Distribution, spawning and racial studies of the capelin, in the offshore area. Journal of the Fisheries Research Board of Canada, 15: pp. 275-293.
- Proudman, J. 1916. On the motion of solids in a liquid possessing vorticity. Proceedings of the Royal Society, A, 92. pp. 400-424.
- Ross, C. K. 1980. Moored current meter data from Flemish Cap, January-July 1979. NAFO Scr. Doc., No. 128, Ser. No. N200, 13 p.
- Ross, C. K. 1981. The drift of satellite-tracked buoys on Flemish Cap, 1979-80. NAFO Sci. Coun. Studies, 1: pp. 47-50.
- Sæmundsson, B. 1926. Fiskarnir (The fishes of Iceland. In Icelandic). Bókav. Sigfúsar Eymundssonar, Reykjavik, 583 pp.
- Saetre R., Gjøsaeter J. 1975. Ecological investigations on the spawning grounds of the Barents Sea capelin // Fiskeridir. Skrift. Ser. Havunders. -Vol.16, no.7: pp. 203-207.
- Schlitzer, R., 2004. Ocean Data View, <http://www.awi-bremerhaven.de/GEO/ODV>.
- Taylor, G. I. 1917. Motion of solids in fluids when the flow is not irrotational. Proceedings of the Royal Society, A, 93: pp. 99-113.
- Templeman, W. 1948. The life history of the capelin (*Mallotus villosus* O.F. Müller) in Newfoundland waters. Research Bulletin of the Newfoundland Department of Natural Resources, 17: pp. 1-151.
- Templeman, W. 1976. Biological and oceanographic background of Flemish Cap as an area for research on the reasons for year-class success and failure in cod and redfish. ICNAF Res. Bull. No. 12: pp. 91-117.
- Thors, K. 1981. Environmental features of the capelin spawning grounds south of Iceland. Rit. Fiskideildar, 6; pp 7-13.
- Velikanov, A.Ya. 1988. Data on the eggs and larvae of the Pacific capelin (*Mallotus villosus socialis*) along the shores of southern Sakhalin. Journal of Ichthyology, 28: pp. 86-91.
- Vilhjalmsson, H. 1983. Biology, abundance estimates and management of the Icelandic stock of capelin. Rit Fiskideildar 7, 3: pp. 153-181.
- Vilhjalmsson, H. 1994. The icelandic capelin stock. Capelin, *Mallotus villosus* (Muller) in the Iceland – Greenland - Jan Mayen area // Rit fiskideildar. -Vol.13, no.1: 281 p.